

52

ИНСТИТУТ ЯДЕРНОЙ ФИЗИКИ  
СО АН СССР

Е.Н.Дементьев, Н.С.Диканский, А.С.Медведко,  
В.В.Пархомчук, Д.В.Пестриков

ИЗМЕРЕНИЕ ТЕПЛОВЫХ ШУМОВ  
ПРОТОНОННОГО ПУЧКА НА  
НАКОПИТЕЛЕ НАП - М

ПРЕПРИНТ ИЯФ 79-70

Новосибирск

ИЗМЕРЕНИЕ ТЕПЛОВЫХ ШУМОВ ПРОТОНОННОГО ПУЧКА НА  
НАКОПИТЕЛЕ НАП-М

Е.Н.Дементьев, Н.С.Диканский, А.С.Медведко,  
В.В.Пархомчук, Д.В.Пестриков

А Н Н О Т А Ц И Я

В работе описаны результаты измерений спектров и мощностей шума неохлажденного и охлажденного пучка протонов в НАП-М. Анализируются особенности шумов охлажденного пучка, обузванные взаимодействию частиц.

## I. Введение

Непрерывный пучок, движущийся в накопителе, наводит на пип-электродах сигналы, связанные с конечным числом частиц в пучке. Сигнал, наводимый отдельной частицей, представляет собой короткий импульс, повторяющийся с частотой обращения  $\omega_i$ . Спектр такого сигнала линейчатый с дискретностью, равной частоте обращения  $\omega_i$ . Суммарный спектр мощности всех частиц пучка будет представлять собой набор пиков, сосредоточенных вокруг гармоник средней частоты обращения. При этом ширина спектра  $n$ -ной гармоники определяется разбросом частот обращения  $n\delta\omega$ . Мощность такого сигнала (то есть интеграл по спектру вокруг заданной гармоники  $n\omega_c$ ) не зависит от разброса частот обращения  $\delta\omega$ , а определяется полным числом частиц в пучке  $N$ , что характерно для дробовых шумов. Такая модель хорошо описывает спектр шума малоинтенсивного пучка с большим разбросом по импульсам, когда можно пренебречь взаимодействием частиц.

Однако уже первые наблюдения шумов пучка, проведенные на НАП-М<sup>1</sup>, показали, что мощность шумов охлажденного пучка существенно ниже уровня, предсказываемого обычной теорией дробовых шумов пучка<sup>2</sup>. В теоретической работе<sup>3</sup> был предложен механизм и получены некоторые количественные соотношения, объясняющие этот эффект.

Согласно результатам этой работы с увеличением плотности частиц в пучке, или с уменьшением разброса частиц по импульсам (уменьшением температуры) взаимодействие частиц пучка оказывает существенное влияние на характер наблюдавшихся флуктуаций. В накопителе, работающем ниже критической энергии, взаимное расталкивание частиц препятствует образованию флуктуаций плотности, поскольку энергия взаимодействия частиц, образующих флуктуации, не может быть существенно больше температуры пучка. Поэтому с понижением температуры ниже некоторого значения уровень флуктуаций ограничивается и шум пучка из дробового переходит в тепловую, уменьшающуюся с понижением температуры.

Помимо изменения мощности шумов, взаимодействие частиц приводит к изменению характера движения флуктуаций. Наводимые ею продольные поля приводят к распространению флуктуаций по

пучку в виде двух волн (вдоль и против движения пучка) со скоростью распространения, зависящей от интенсивности взаимодействия. Наличие этих волн расщепляет спектр шумов на два пика вокруг гармоник частоты обращения.

В настоящей работе описано проведенное экспериментальное исследование тепловых шумов азимутально-однородного пучка протонов на накопителе НАП-М<sup>4</sup>. Использование электронного охлаждения<sup>5</sup> позволяет легко регулировать температуру протонного пучка и исследовать его тепловые шумы в широком интервале температур.

## 2. Система для измерения шумов

Измерения спектров шумов пучка проводились на 5 и 8 гармониках частоты обращения при помощи электростатического интегрального датчика (пикап-электрода). Блок-схема канала, работающего на 8 гармонике, приведена на Рис. I. Для повышения чувствительности канала измерений емкость датчика  $C_d$  вместе с индуктивностью  $L$  образует резонансный контур, настроенный на частоту гармоники (17.6 МГц). Добротность контура  $Q = 500$ . Резонансное сопротивление контура 40 кОм, поэтому при подключении к нему полевого тетрода Т1 типа КП306 шумы системы практически определяются тепловыми шумами контура и равны  $10^{-18}$  Вт в полосе  $\pm 1$  кГц (шумы усилителя ниже на 12 дБ). Входной каскад усилителя выполнен по каскадной схеме. В последующих схемах применено двукратное преобразование частоты. Выходной сигнал второго смесителя (синхронного детектора) преобразуется при помощи аналого-цифрового преобразователя (АЦП) в цифровой код для передачи информации в ЭВМ. Полоса частот измеряемого сигнала на входе АЦП равна 1 кГц, тактовая частота АЦП - 2 кГц, погрешность преобразования 0.1%.

Анализ спектра шумов производится в ЭВМ программой быстрого преобразования Фурье. Для преобразования используются массивы длиной 512 слов, содержащие результаты измерений, выполненных за 0.25 сек. В выбранном методе с параллельным Фурье-анализом время измерения спектра шириной  $\Delta F$  с заданным разрешением  $\Delta f$  в  $\Delta F/\Delta f$  раз меньше, чем в методе с последовательным свидорованием спектра. Это особенно важно при

измерении нестационарных процессов, так как позволяет существенно уменьшить влияние нестабильности магнитного поля накопителя и, соответственно, частот обращения в пучке на результаты измерений.

## 3. Результаты

Основным эффектом, обнаруженным уже в первых измерениях шума охлажденного пучка, было резкое уменьшение мощности сигнала<sup>1</sup>. Усовершенствование измерительной аппаратуры позволило надежно измерять весьма малые шумовые сигналы охлажденного пучка. На Рис. 2 показана измеренная на восьмой гармонике зависимость мощности шумов от протонного тока  $J_p$  для неохлажденного и охлажденного пучков (кривые  $a$  и  $b$ , соответственно). Видно, что в результате охлаждения мощность шумов уменьшается примерно на два порядка и, что в диапазоне токов 0.5 мА - 10 мА мощность шума охлажденного пучка не зависит от тока  $J_p$ . Мощность шума неохлажденного пучка, как видно, линейно растет с  $J_p$ .

Связь между напряжением на пикап-электроде  $U_n$  и амплитудой азимутальной гармоники плотности пучка  $A_n$ , в соответствии со схемой на Рис. I, определяется соотношением:

$$\langle |U_n|^2 \rangle = 2 \left( e \frac{Q}{C_d} \cdot \frac{\ell_d}{2\pi R_0} \right)^2 \langle |A_n|^2 \rangle$$

Здесь  $Q$  - добротность входного контура,  $\ell_d$  - соответствующая длина и емкость пикап-электрода,  $2\pi R_0$  - периметр орбиты,  $e$  - заряд электрона, скобки  $\langle \rangle$  означают усреднение по пучку. Это соотношение было использовано для вычисления амплитуд гармоник  $|A_n|$  на Рис. 2.

Азимутальную плотность пучка представим в виде

$$P(\theta t) = \sum_{n=-\infty}^{\infty} \frac{A_n(t)}{2\pi} \exp(in\theta) \quad A_n(t) = \sum_{a=1}^N e^{ia\theta t} \quad (I)$$

" $a$ " - нумерует частицы,  $N$  - число частиц. В отсутствии взаимодействия движение частиц не коррелировано и, легко видеть, что среднее

$$\langle A_n \rangle = 0 \quad \langle |A_n|^2 \rangle = N$$

Как показано в /3/ взаимодействие частиц через внешние системы, окружающие пучок, приводит к подавлению флуктуаций плотности таким образом, что

$$\langle |A_n|^2 \rangle = \frac{N}{1 + \frac{N}{N_{th}}} \quad (2)$$

где  $N_{th}$  определяется равенством величины продольного когерентного сдвига частоты

$$\Omega_n^2 = n^2 \frac{Ne^2 \omega_s \omega'_0}{2\pi R_0} \left( \frac{Z_n}{n} \right) \quad (3)$$

разбросу частот обращения  $n\delta\omega$  вблизи  $n\omega_s$ :

$$N_{th} = \frac{2\pi R_0 \delta\omega^2}{e^2 \omega_s \omega'_0} \left( \frac{n}{Z_n} \right)$$

Здесь  $Z_n$  импеданс камеры по отношению к пучку,  $\omega_s = \omega_0(p_s)$  частота обращения равновесной частицы,  $\omega'_0 = \frac{d\omega_0}{dp}$ .

Формула (2) показывает, что, если число частиц не велико  $N \ll N_{th}$ , дисперсия флуктуаций плотности  $\langle |A_n|^2 \rangle$  пропорциональна  $N$  (дробовой шум пучка). Видно, что величины флуктуаций плотности находятся в хорошем численном согласии с формулой (2) (Рис.2, кривая  $\alpha$ ).

Однако при охлаждении  $N_{th}$  может стать существенно меньше  $N$ . В этих условиях мощность шума пучка не зависит от числа частиц и определяется температурой пучка

$$\langle |A_n|^2 \rangle = N_{th} = \frac{2\pi R_0 \delta\omega^2}{e^2 \omega_s \omega'_0} \cdot \left( \frac{n}{Z_n} \right); N \gg N_{th} \quad (2.a)$$

Эти особенности шума хорошо видны на Рис.2. Увеличение мощности шумов с ростом протонного тока (при  $J_p > 10$  мкА, кривая  $\delta$ ), повидимому, связано с ростом разброса по импульсам в протонном пучке за счет эффектов взаимного рассеяния протонов /6/.

На Рис.3 приведены спектры шума неохлажденного (кривая  $\alpha$ ) и охлажденного пучков (кривые  $\delta$  и  $\epsilon$ ). Характерной особенностью спектра шума охлажденного пучка при большом токе является наличие двух четко выраженных пиков (кривая  $\delta'$ ). Как

уже отмечалось выше, эта особенность связана с распространением волн флуктуаций вдоль и против движения пучка. В работе /3/ было показано, что расстояние между этими пиками равно  $2\Omega_n$ . С уменьшением тока пучка максимумы спектра сближаются и при малом токе (кривая  $\epsilon$ ,  $J_p = 0,5$  мкА) не разрешаются аппаратурой.

Зависимость когерентного сдвига  $\frac{\Omega_n}{n}$  от протонного тока, измеренная по расстоянию между максимумами спектра для пятой и восьмой гармоник частоты обращения, показана на Рис.4. Видно, что  $\frac{\Omega_n}{n}$  пропорционально  $\sqrt{J_p}$  в соответствии с выражением (3).

Эти данные позволяют по известным параметрам накопителя /4/ восстановить эффективный импеданс камеры по отношению к пучку  $Z_n$ :

$$\frac{Z_n}{n} = \left( \frac{\Omega_n}{n \omega_s} \right)^2 \left( \frac{p_s V_s}{e J_p} \right) \frac{1}{\gamma} \quad (5)$$

Здесь  $J_p = \frac{1}{2\pi} e N \omega_s$ , а  $\gamma = \frac{1}{\gamma_c} - \frac{1}{\gamma_e}$ ,  $\gamma$  – релятивистский фактор,  $\gamma_c$  – соответствует критической энергии. Величина восстановленная по (5), оказалась равной  $557 \pm 50$  Ом, что хорошо совпадает с импедансом идеально проводящей камеры радиусом  $b = 3,5$  см по отношению к пучку радиусом  $a_p = 0,01$  см, равным 540 Ом.

Результаты измерения спектра шумов могут быть также использованы для вычисления разброса по импульсам в пучке. Для пучка с большим разбросом по импульсам ( $N_{th} \gg N$ )  $\frac{\Delta P}{P}$  определяет ширину спектра шума:

$$\frac{\Delta P}{P} = \frac{1}{2} \left( \frac{\Delta \omega_n}{n \omega_s} \right)$$

Так полуширина спектра неохлажденного пучка, приведенного на Рис.3а, составляет 250 Гц на восьмой гармонике частоты обращения ( $\frac{\omega_s}{2\pi} = 2.2 \cdot 10^6$  Гц). Это дает величину разброса по импульсам

$$\frac{\Delta P}{P} = 1.8 \cdot 10^{-4}$$

В противоположность этому, после охлаждения ( $N_{th} \ll N$ ) ширина спектра определяется интенсивностью пучка  $N$  (Рис.3б,в), а разброс по импульсам определяет мощность шума  $\langle |A_n|^2 \rangle$  в соот-

ветствии с формулой (2.а), которую мы перепишем в виде:

$$\frac{W_n}{W_{n_0}} = \frac{\langle |A_n|^2 \rangle}{N} = \left( \frac{n \delta \omega}{\Omega} \right)^2$$

где  $W_{n_0}$  - мощность шума пучка той же интенсивности, но с большим разбросом по импульсам (кривая а на Рис.2). Используя данные, приведенные на Рис.2а, б и Рис.4, получим для охлажденного пучка при токе  $J_p \leq 10$  мА:

$$\frac{\Delta P}{P} = \frac{1}{2} \left( \frac{\Omega_n}{n \omega_s} \right) \sqrt{\frac{W_n}{W_{n_0}}} \simeq 1.4 \cdot 10^{-6}$$

Любопытно отметить, что такому разбросу по импульсам отвечает экзотически малая продольная температура пучка в сопутствующей системе координат  $T = 1^{\circ}\text{K}$ .

Установившееся значение разброса по импульсам определяется равенством мощности трения мощности диффузии. При уменьшении декрементов затухания разброс по импульсам, а следовательно, и мощность шумов возрастают. В наших измерениях величина декрементов изменялась модуляцией продольных скоростей электронов переменным напряжением с частотой  $f = 5$  кГц. Зависимость мощности шума от амплитуды модуляции приведена на Рис.5. Видно, что с увеличением модуляции мощность шума возрастает.

Из результатов работы следует, что при анализе шумов непрерывного пучка в накопителе (скажем, для диагностики) следует иметь в виду рассмотренные изменения спектра шумов, обузванные взаимодействием частиц в пучке.

В заключение авторы выражают благодарность за полезные обсуждения А.Н.Скрипинскому, И.Н.Мешкову и Я.С.Дербеневу.

## Л и т е р а т у р а

1. Г.И.Будкер, А.Ф.Будущев и др. X Международная конф. по ускорителям заряженных частиц высоких энергий, т. I, стр. 523, Серпухов, 1977.
2. J.Boeger, R.Batham, et al CERN-ISR-DI/RF 74-23 1974
3. В.В.Пархомчук, Д.В.Пестриков. Препринт ИЯФ 78-99, ИЯФ СО АН СССР, Новосибирск, 1978.
4. Г.И.Будкер, Н.С.Диканский и др. Part. Acc. т 7 № 4.
5. Г.И.Будкер, АЭ, 22, 346, 1967.
6. В.В.Пархомчук, Д.В.Пестриков. Препринт ИЯФ 77-37, ИЯФ СО АН СССР, Новосибирск, 1977.

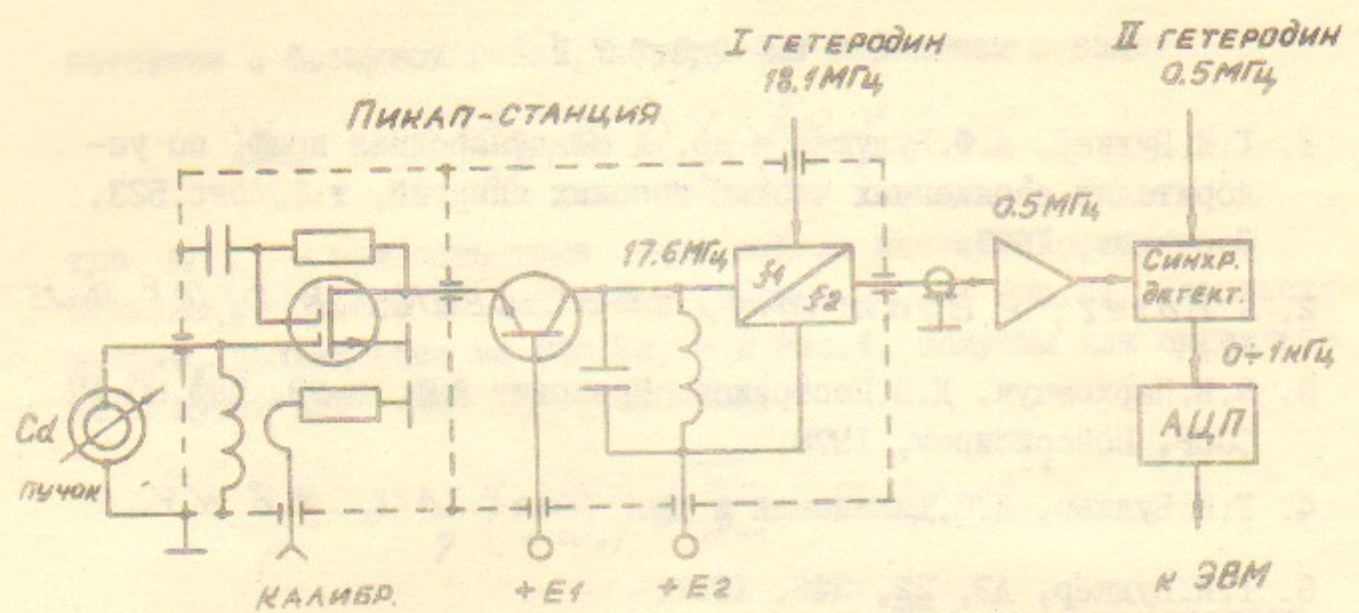


Рис.1. Блок-схема аппаратуры измерения шумов пучка на 8<sup>ой</sup> гармонике частоты обращения

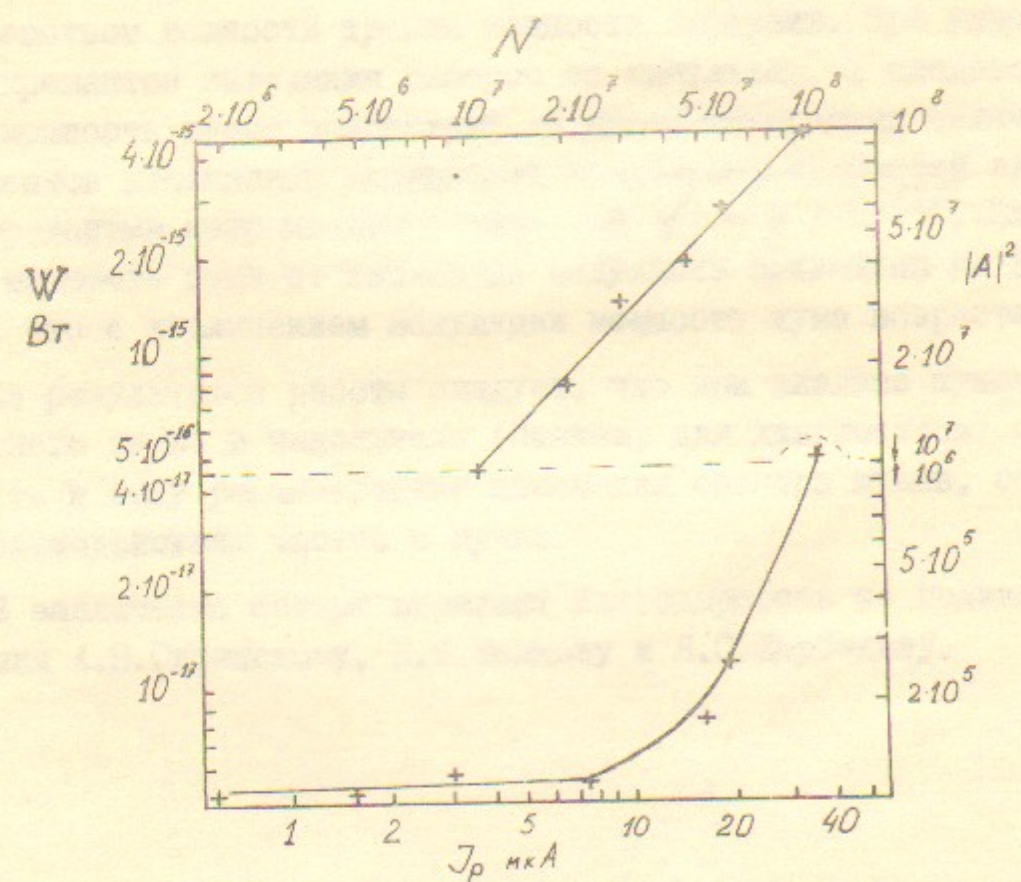


Рис.2. Зависимость мощности шума от протонного тока  
а) неохлажденного пучка,  
б) охлажденного пучка.

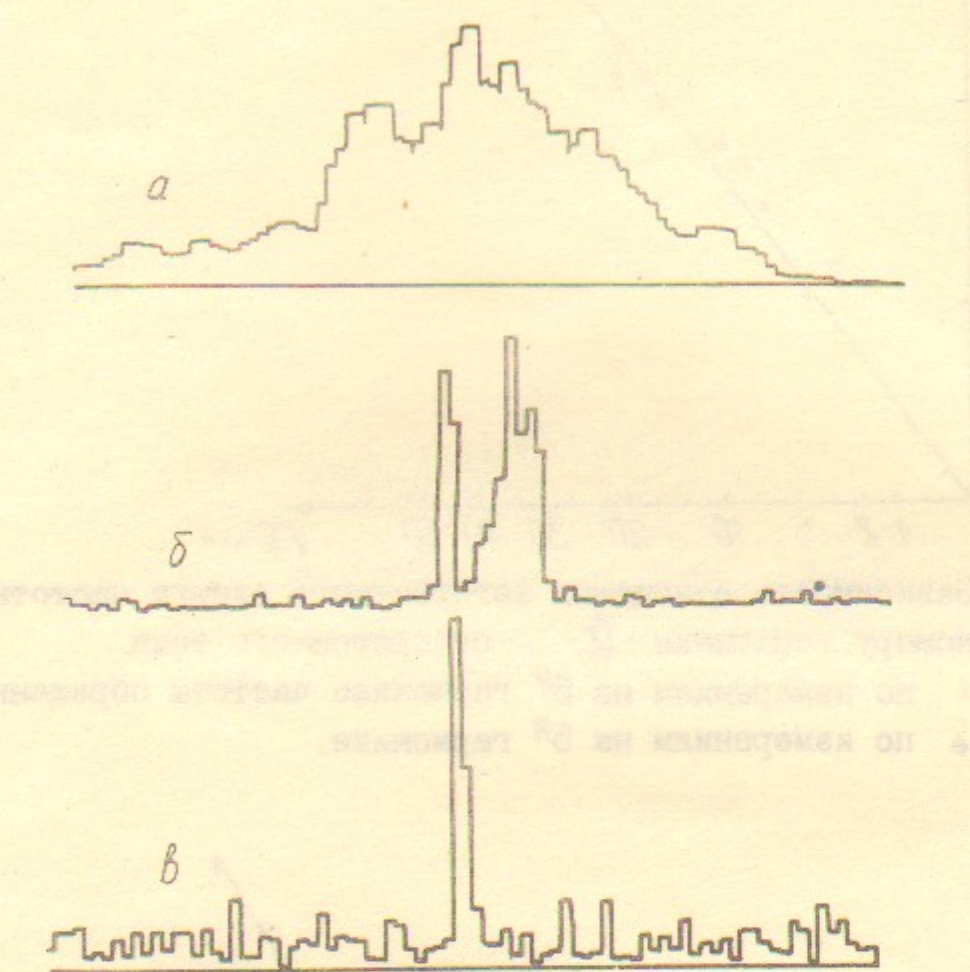


Рис.3. Спектры шума  
а) Неохлажденный пучек  $J_p = 30 \text{ мка}$   
б) охлажденный пучок  $J_p = 30 \text{ мка}$   
в) охлажденный пучок  $J_p = 5 \text{ мка}$

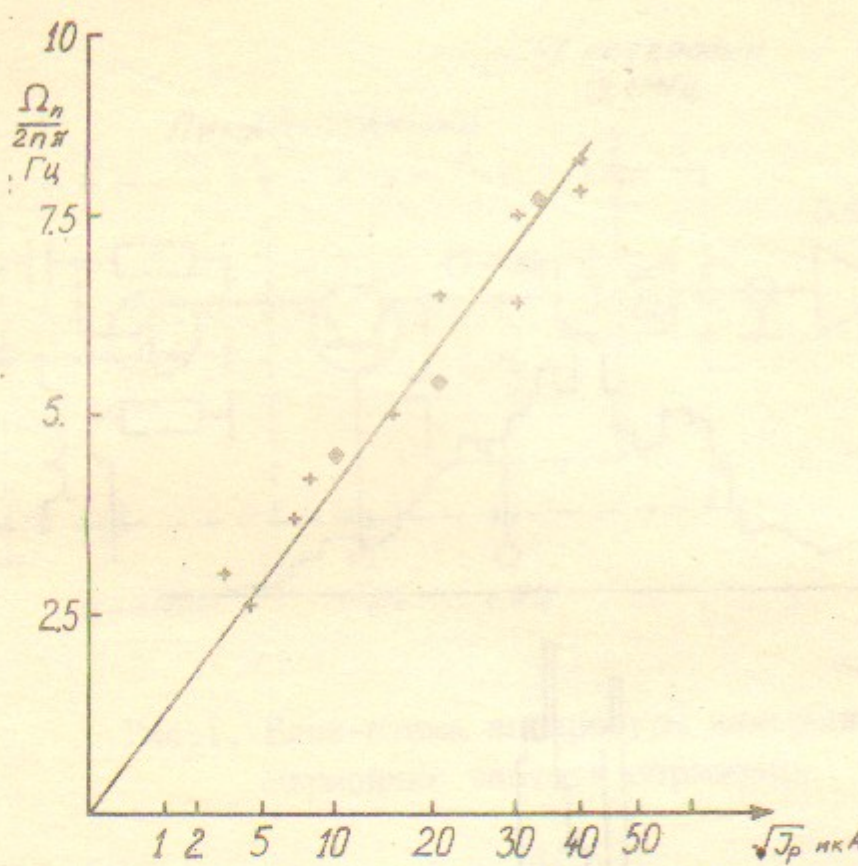


Рис.4. Зависимость отношения когерентного сдвига частоты к номеру гармоники  $\frac{\Omega_n}{n}$  от протонного тока.  
+ по измерениям на 8<sup>й</sup> гармонике частоты обращения  
◊ по измерениям на 5<sup>й</sup> гармонике.

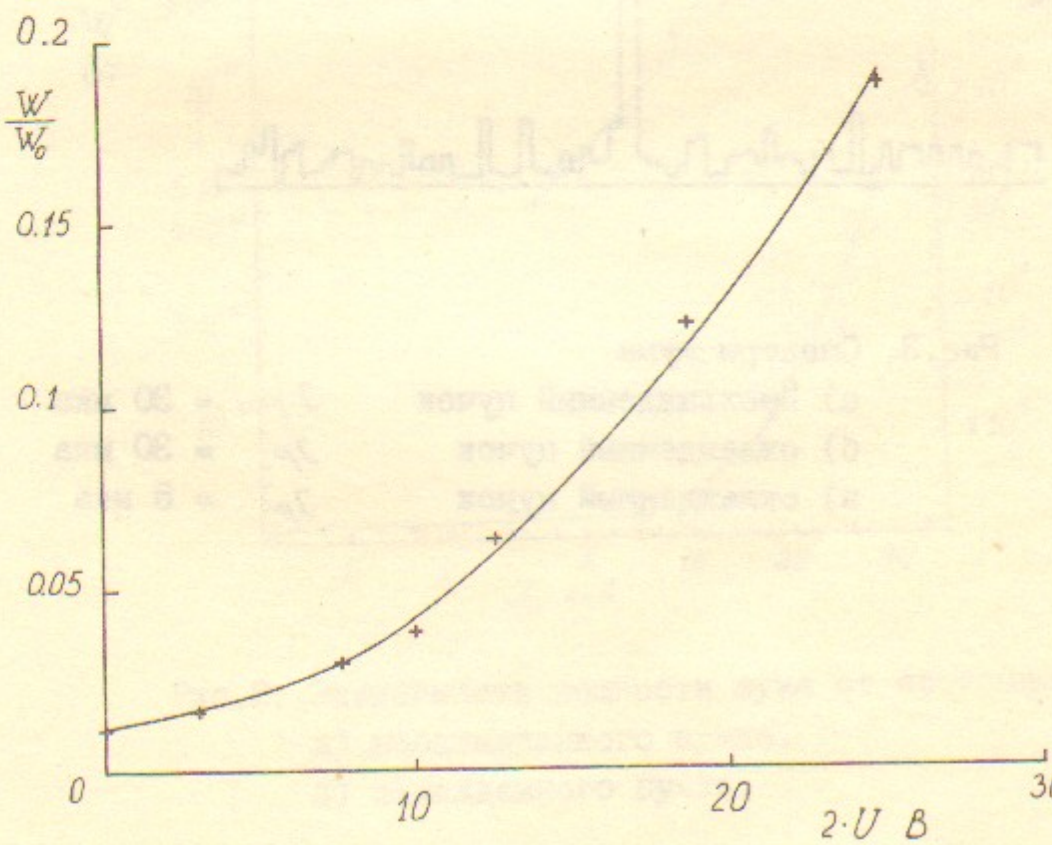


Рис.5. Зависимость мощности шума протонного пучка от амплитуды модуляции продольных скоростей электронов.

Работа поступила 24 июля 1979 г.

Ответственный за выпуск С.Г.Попов  
Подписано к печати 20.8-1979г. № 02992  
Усл.0,8 печ.л., 0,7 учетно-изд.л.  
Тираж 200 экз. Бесплатно  
Заказ № 70.

Отпечатано на ротапринте ИЯФ СО АН СССР